## 水处理技术与环境保护

# 异质结 Ag/NiO/g-C<sub>3</sub>N<sub>4</sub>的制备 及其光催化降解土霉素

# 手。娜

(渭南师范学院 化学与材料学院,陕西 渭南 714099)

摘要:为了改善石墨型氮化碳(g-C<sub>3</sub>N<sub>4</sub>)的光催化能力,采用浸渍和光还原法将 g-C<sub>3</sub>N<sub>4</sub>表面负载 NiO 和 Ag,制备了 S 型异质结 Ag/NiO/g-C<sub>3</sub>N<sub>4</sub>。采用 XRD、FTIR、SEM、TEM 和荧光光谱(PL)对 Ag/NiO/g-C<sub>3</sub>N<sub>4</sub>进行了表征,并将 Ag/NiO/g-C<sub>3</sub>N<sub>4</sub>用于光-Fenton 催化体系下土霉素(OTC)的降解,考察了料液比(mg:mL,催化剂质量与 OTC 溶液体积之比,下同)和溶液初始 pH 对 OTC 降解率的影响,探究了 Ag/NiO/g-C<sub>3</sub>N<sub>4</sub>光催化降解 OTC 反应的活性物种,并推测了其催化机理。结果表明,NiO 和 Ag 成功负载在 g-C<sub>3</sub>N<sub>4</sub>表面上,并形成了异质结,将有助于光生电子-空穴对的分离和传输,提升其光催化性能。与 g-C<sub>3</sub>N<sub>4</sub>、NiO 和 NiO/g-C<sub>3</sub>N<sub>4</sub> 相比,Ag/NiO/g-C<sub>3</sub>N<sub>4</sub>具有更高的催化活性,其瞬态荧光平均寿命为 5.08 ns。Ag/NiO/g-C<sub>3</sub>N<sub>4</sub>光催化降解 OTC 反应的最佳条件为溶液初始 pH=6、料液比为 20:50。在上述条件下,可见光( $\lambda$ >420 nm)作用 120 min 时,OTC 的降解率为 89.3%。羟基自由基是降解 OTC 的主导活性物种,超氧自由基和空穴也参与了光催化反应。

关键词:  $Ag/NiO/g-C_3N_4$ ; S型异质结; 光-Fenton 催化; 土霉素; 水处理技术

中图分类号: O69 文献标识码: A 文章编号: 1003-5214 (2025) 10-2272-09

# Preparation of Ag/NiO/g-C<sub>3</sub>N<sub>4</sub> heterojunction and its photocatalytic degradation of oxytetracycline

#### MAO Na

(College of Chemistry and Materials Science, Weinan Normal University, Weinan 714099, Shaanxi, China)

Abstract: In order to improve the photocatalytic ability of graphitic carbon nitride (g-C<sub>3</sub>N<sub>4</sub>), *S*-type heterojunction Ag/NiO/g-C<sub>3</sub>N<sub>4</sub> was prepared from loading NiO and Ag onto the surface of g-C<sub>3</sub>N<sub>4</sub> by impregnation and photoreduction methods, characterized by XRD, FTIR, SEM, TEM and fluorescence spectroscopy (PL) and used for oxytetracycline (OTC) degradation in photo-Fenton catalysis. The effects of solid-liquid ratio (mg: mL, the ratio of catalyst mass to OTC solution volume, the same below) and initial pH solution on the degradation rate of OTC were analyzed, while the active species of Ag/NiO/g-C<sub>3</sub>N<sub>4</sub> for photocatalytic degradation of OTC were investigated, and the catalytic mechanism was speculated. The results showed that NiO and Ag were successfully loaded on the surface of g-C<sub>3</sub>N<sub>4</sub> and formed a heterojunction, which was contributed to the separation and transportation of photogenerated electron hole pairs, and improved the photocatalytic performance. Compared with g-C<sub>3</sub>N<sub>4</sub>, NiO and NiO/g-C<sub>3</sub>N<sub>4</sub>, Ag/NiO/g-C<sub>3</sub>N<sub>4</sub> exhibited higher catalytic activity, with an average transient fluorescence lifetime of 5.08 ns. The optimum conditions of Ag/NiO/g-C<sub>3</sub>N<sub>4</sub> photocatalytic degradation of OTC were obtained as initial pH of solution 6 and solid-liquid ratio 20: 50. Under the above conditions, when visible light (λ>420 nm) was applied for 120 min, the degradation rate of OTC was 89.3%. Hydroxyl radical was the dominant active species in the degradation of OTC, while superoxide radical and hole also participated in the photocatalytic reaction.

**Key words:** Ag/NiO/g-C<sub>3</sub>N<sub>4</sub>; S-type heterojunction; photo-Fenton catalysis; oxytetracycline; water treatment technology

收稿日期: 2024-08-23; 定用日期: 2024-11-11; DOI: 10.13550/j.jxhg.20240652

**基金项目**: 陝西省教育厅重点实验室项目(20JS046);渭南市科技局项目(2021ZDYF-JCYJ-282)

作者简介: 毛 娜 (1982—), 女, 副教授, E-mail: maona166@126.com。

随着中国社会经济的不断发展,重、轻工业领域取得突破性进步的同时,伴随而来的环境污染问题不容忽视,其中,包括畜牧业和医用方面难以清除的大量抗生素废水。土霉素(OTC)为广谱抗生素,价格低廉,应用广泛<sup>[1-6]</sup>,其结构处于较稳定的状态,很难用传统的工艺方法进行处理,在废水中也很难自然降解,长期暴露导致水流中的化学元素不能平衡聚集,进而诱发抗药性细菌的出现<sup>[7-9]</sup>。科研人员采取了不同方法,如吸附、芬顿(Fenton)氧化、光催化降解、电化学法等<sup>[10-15]</sup>,试图解决废水中的 OTC 污染问题。

近年来,光-Fenton 催化协同作用已得到广泛 应用。例如:王文亮等[16]制备了石墨型氮化碳  $(g-C_3N_4)$ 复合催化材料  $\alpha$ -Fe<sub>2</sub>O<sub>3</sub>/g-C<sub>3</sub>N<sub>4</sub>, 采用光 催化与 Fenton 氧化反应共同降解四环素,在可见 光和 H<sub>2</sub>O<sub>2</sub>的存在下反应 20 min, 四环素的降解率 可达 78%, 分别为纯 g-C<sub>3</sub>N<sub>4</sub>和 α-Fe<sub>2</sub>O<sub>3</sub>催化剂的 5.8 倍和 3.5 倍; 周慧等[17]采用共沉淀-回流法制备 了磁性复合材料 g-C<sub>3</sub>N<sub>4</sub>/Fe<sub>3</sub>O<sub>4</sub>/BiOI, 以其为异相 Fenton 催化剂对罗丹明 B(RhB)进行降解,在可 见光作用下, BiOI 负载量为 50%的 g-C<sub>3</sub>N<sub>4</sub>/ Fe<sub>3</sub>O<sub>4</sub>/BiOI 在 180 min 内对 RhB 的降解率可达 99.20%; HE 等[18]通过制备三元异质结催化剂 g-C<sub>3</sub>N<sub>4</sub>/Fe<sub>3</sub>O<sub>4</sub>@MIL-100(Fe)来降解高浓度环丙沙 星,在光-Fenton协同作用下,环丙沙星 120 min 内的降解率可达 94.7%; 王坤等[19]采用热聚合法 制备了催化剂 Fe/g-C<sub>3</sub>N<sub>4</sub>,将其用于降解亚甲基蓝 (MB), 煅烧 4 h 的 Fe/g-C<sub>3</sub>N<sub>4</sub> 在光催化-类 Fenton 反 应下, 30 min 时 MB 的降解率可达 93.29%。研究 表明, Fenton 反应与光催化反应的协同作用能够 提高污染物的降解效果。g-C<sub>3</sub>N<sub>4</sub>作为光催化剂, 具有稳定的理化性质和简便的制备工艺,但其比 表面积较小、电子-空穴易复合的问题严重影响了 其光催化效率 $^{[14]}$ 。NiO 是一种常见的 p 型无机金 属半导体光催化剂,石墨相 g-C<sub>3</sub>N<sub>4</sub>是一种新型的 n 型非金属半导体光催化材料, 当二者复合后, 催 化体系中电子-空穴快速分离,可以推动光催化降 解的发生;另外,金属负载也能显著提高半导体 材料的光电及光催化性能。这是因为,在金属与 半导体催化剂之间的接触面会形成一层肖特基 (Schottky)势垒,来自半导体的电子很容易被金 属颗粒接收,从而抑制光生电子与空穴对的复合[14]。 与其他贵金属相比, Ag 具体毒性小、成本低的优 点,已被广泛用作负载金属。

本文拟制备异质结复合催化材料  $Ag/NiO/g-C_3N_4$ , 对污染物 OTC 进行降解, 测试其催化效果, 探究其降解性能和机理。以期通过类 Fenton 氧化与

光催化结合的方法来改善g-C<sub>3</sub>N<sub>4</sub>的光催化性能。

# 1 实验部分

#### 1.1 试剂与仪器

无水乙醇、Ni(NO<sub>3</sub>)<sub>2</sub>•6H<sub>2</sub>O、三聚氰胺、过氧化 氢溶液(H<sub>2</sub>O<sub>2</sub>,质量分数 30%)、AgNO<sub>3</sub>、无水甲醇、异丙醇(IPA)、三乙醇胺(TEA)、对苯醌(p-BQ)、NaOH、盐酸(质量分数 10%)、OTC,AR,国药集 团药业股份有限公司。

GP/FTIR-1500 型傅里叶变换红外光谱仪(FTIR),北京普析通用仪器有限责任公司;JEM-2100 型透射电子显微镜(TEM),日本电子株式会社;EscaLab 250Xi 型 X 射线光电子能谱仪(XPS),美国 Thermo Fisher Scientific 公司;XRD-6100型 X 射线衍射仪(XRD),日本 Shimadzu公司;FEI Quanta 200型扫描电子显微镜(SEM),美国 FEI 公司;Agilent 5110型电感耦合等离子体原子发射光谱仪(ICP-OES),美国 Agilent 公司;Lambda 950型紫外-可见分光光度计(UV-Vis),美国 Perkin Elmer 仪器有限公司;F-7000型炭光分光光度计,日本 Hitachi 公司;UV-2000型紫外-可见分光光度计,其体系科有限公司;CHI660E型电化学工作站,上海辰华仪器有限公司。

#### 1.2 方法

#### 1.2.1 g-C<sub>3</sub>N<sub>4</sub>的制备

将 5.0 g 三聚氰胺装入坩埚, 并以 5 ℃/min 的 升温速率在马弗炉中加热至 500 ℃, 保温 2 h, 自 然冷却至室温后,将产物进行充分研磨,再放入马弗炉中 550 ℃保温 2 h。待自然冷却至室温,得到淡黄色固体粉末约 3.1 g,记为 g- $C_3N_4$ 。

# 1.2.2 复合材料的制备

将 1.225 g ( 4.2 mmol ) Ni(NO<sub>3</sub>)<sub>2</sub>•6H<sub>2</sub>O 加入到 50 mL 无水乙醇中,充分搅拌溶解,向上述溶液中加入 0.500 g g-C<sub>3</sub>N<sub>4</sub>,继续搅拌 60 min。静置,加热到 60 ℃ 待溶剂挥发后将产物进行收集。最后,将产物在马弗炉中,以 5 ℃/min 开温速率加热至 350 ℃,保温 2 h,冷却至室温,得到 0.620 g 灰色粉末,即 NiO 负载 g-C<sub>3</sub>N<sub>4</sub>复合材料,记为 NiO/g-C<sub>3</sub>N<sub>4</sub>。

采用光还原法在 NiO/g-C<sub>3</sub>N<sub>4</sub> 表面负载 Ag。将 0.2418 g (1.5 mmol ) AgNO<sub>3</sub> 溶于 30 mL 甲醇和去离 子水混合溶剂(体积比 1:3)中,将 0.5000 g NiO/g-C<sub>3</sub>N<sub>4</sub>加入到上述溶液中,搅拌 30 min,开启 氙灯光源( $\lambda$ > 420 nm),光源离样品液面大约 5 cm,继续搅拌反应 60 min。将反应后的混合物离心、用 去离子水洗涤 2~3 次、于 80 ℃烘干,得到 Ag 和 NiO 负载的 g-C<sub>3</sub>N<sub>4</sub> 三元复合材料,记为

Ag/NiO/g-C<sub>3</sub>N<sub>4</sub>。通过 ICP-AES 测得, Ag/NiO/g-C<sub>3</sub>N<sub>4</sub> 中 Ni 和 Ag 的质量分数分别为 37.60%和 20.75%。

 $Ag/NiO/g-C_3N_4$ 的制备过程示意图如图 1 所示。

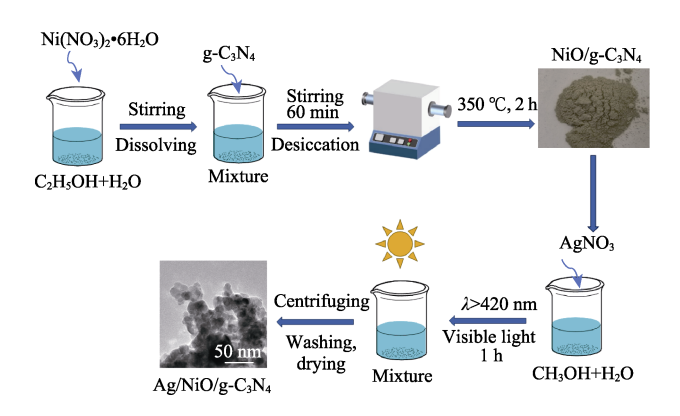


图 1 Ag/NiO/g- $C_3N_4$ 的制备过程示意图 Fig. 1 Schematic diagram of synthesis process of Ag/NiO/g- $C_3N_4$ 

# 1.3 表征方法与性能测试

FTIR 测试: KBr 压片法, 透射模式, 波数范围 4000~400 cm<sup>-1</sup>, 分辨率 4 cm<sup>-1</sup>, 扫描次数 32 次。 TEM 测试: Cu 网, 工作电压 1200 kV。XPS 测试: Al K<sub>α</sub> 为射线源, 并以 C 1s (284.8 eV) 为基准对数 据进行校正。XRD测试: 靶材 Cu, 管电压 40 kV, 管电流 40 mA, Ka射线波长为 0.1541 nm, 扫描速 率 8 (°)/min, 扫描范围 10°~80°。SEM 测试: 低位 二次电子(LEI)模式,工作电流 20 μA,电子加速 电压 5.0 kV。ICP-OES 测试:向 5 mg 样品中加入 0.5 mL 王水, 60 ℃下消解 6 h, 所得溶液加水定容 至 25 mL, 稀释一定倍数后进行测试。紫外-可见漫 反射(UV-Vis DRS)测试: BaSO4背景,波长200~ 800 nm。 荧光发射光谱测试: 采用荧光分光光度计, 在激发波长 365 nm 下进行测试, 扫描速率 1200 nm/min, 狭缝 2.5 nm。UV-Vis 吸收光谱测试: 采用 UV-Vis 在最大吸收波长 269 nm 下进行测试, 石英比色皿 1 cm, 扫描速率 1000 nm/min, 狭缝 2 nm。电化学性能测试:采用三电极池系统,以玻 碳电极为工作电极、AgCl电极为参比电极(SCE)、 铂丝为反电极进行电化学测试。通过方程  $E_{\text{NHE}}=E_{\text{SCE}}=0.22$ ,将 AgCl 氧化还原偶极转化为氢电 极(NHE)。在 Na<sub>2</sub>SO<sub>4</sub>水溶液(0.5 mol/L)中,交 流电压 5 mV, 频率范围  $1 \times 10^{5} \sim 1 \times 10^{-2}$  Hz 的条件 下测定了电化学阻抗谱(EIS)。

# 1.4 光催化实验

分别将 20 mg g- $C_3N_4$ 、NiO、NiO/g- $C_3N_4$  和 Ag/NiO/g- $C_3N_4$ 置于石英反应皿中,加入质量浓度为 20 mg/L 的 OTC 水溶液 50 mL,即料液比(mg:mL,下同)为 20:50, 黑暗中搅拌 30 min 以达到吸附平

衡,然后加入质量分数 6%的  $H_2O_2$ 溶液 2 mL,pH 为 6 (初始 pH),开启氙灯光源( $\lambda$  > 420 nm)进行光催化降解 OTC 反应,每隔 20 min 取 1 次样。所得清液通过紫外分光光度计测其吸光度(354 nm)。根据测定的 OTC 质量浓度(x, mg/L)-吸光度(y)标准曲线拟合方程 y=0.0357x+0.0297( $R^2$ =0.9957),计算测定溶液中 OTC 的质量浓度,然后根据式(1)计算 OTC 的降解率:

$$\eta/\% = (1 - \rho_t/\rho_0) \times 100$$
 (1)

式中:  $\eta$  为 OTC 的降解率, %;  $\rho_0$  和  $\rho_t$  分别为溶液的初始和 t 时 OTC 的质量浓度, mg/L。

根据式(2)对降解过程进行一级动力学拟合: 
$$-\ln(\rho_t/\rho_0)=k_1t$$
 (2)

式中:  $\rho_t$ 为反应时间 t 时溶液中 OTC 的质量浓度, mg/L;  $\rho_0$ 为 OTC 的初始质量浓度, mg/L; t 为反应时间, min;  $k_1$ 为一级反应动力学常数, min<sup>-1</sup>。

光催化实验结束后,将催化剂经过滤、用去离子水洗涤 2~3 次,在 60 ℃下干燥 24 h,再次进行光催化实验,考察催化剂的循环稳定性。

#### 1.5 单因素实验

在1.4节光催化实验优选最佳催化剂的基础上, 调整料液比为 0:50、10:50、30:50、40:50, 考察其对 OTC 的降解率的影响。

在1.4节光催化实验优选最佳催化剂的基础上, 用浓度 1 mol/L NaOH 溶液和 1 mol/L 盐酸调整溶液 初始 pH 分别为 2、4、8、10,考察其对 OTC 的降解 率的影响。

#### 1.6 活性物种捕获实验

将 20 mg Ag/NiO/g-C<sub>3</sub>N<sub>4</sub>置于石英反应皿中,加入质量浓度为 20 mg/L 的 OTC 水溶液 50 mL,即料液比为 20:50,黑暗中搅拌 30 min 以达到吸附平衡,在光催化实验达到吸附平衡后,加入质量分数 6%的  $H_2O_2$  溶液 2 mL,pH 为 6,开启氙灯光源( $\lambda$  > 420 nm),分别添加作为羟基自由基(•OH)、光生空穴( $h^+$ )、超氧基自由基(• $O_2^-$ )和电子( $e^-$ )捕获剂的 IPA、TEA、p-BQ 和 AgNO<sub>3</sub><sup>[4]</sup>,考察 OTC 降解率的变化,确定光催化降解 OTC 反应中起主要作用的活性物种。

#### 2 结果与讨论

#### 2.1 表征分析

图 2 为 g-C<sub>3</sub>N<sub>4</sub>、NiO、NiO/g-C<sub>3</sub>N<sub>4</sub>和 Ag/NiO/g-C<sub>3</sub>N<sub>4</sub>的 XRD 谱图和 FTIR 谱图。

从图 2a 可以看出,  $g-C_3N_4$ 在  $2\theta=13.2$ °和 27.4°处存在衍射峰,分别对应  $g-C_3N_4$ 的(100)和(002)晶面,且图谱中未出现其余杂质峰,表明成功制备了纯

度高和结晶度好的 g-C<sub>3</sub>N<sub>4</sub>; NiO 在  $2\theta$ =37.3°、43.3°、62.9°、75.4°和 79.4°处存在衍射峰,分别对应 NiO 的(111)、(200)、(220)、(311)和(222)晶面,与标准卡片 JCPDS No. 89-5881 衍射峰一致;Ag/NiO/g-C<sub>3</sub>N<sub>4</sub>的 XRD 谱图中,Ag 在  $2\theta$ =38.1°、44.3°、64.4°、77.4°处存在衍射峰,分别对应其(111)、(200)、(220)、(311)晶面<sup>[20]</sup>,NiO 的衍射峰也存在其中,表明 Ag 和 NiO 成功负载在 g-C<sub>3</sub>N<sub>4</sub>表面,且未破坏 g-C<sub>3</sub>N<sub>4</sub>的晶体结构。

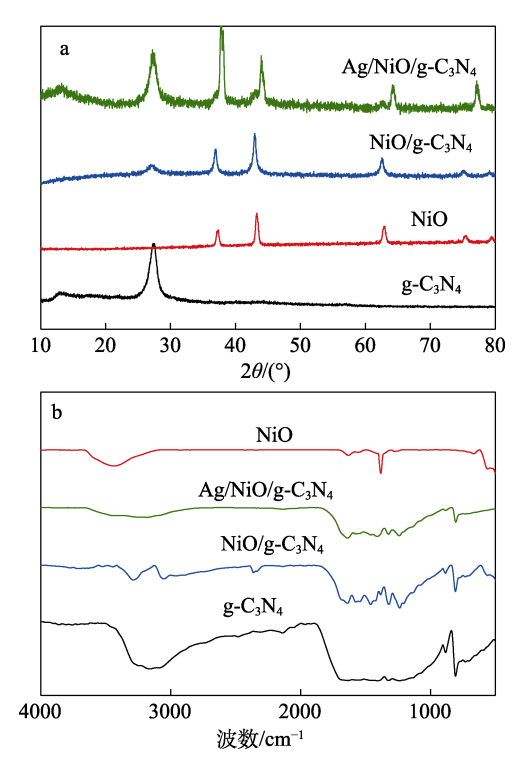


图 2 g-C<sub>3</sub>N<sub>4</sub>、NiO、NiO/g-C<sub>3</sub>N<sub>4</sub>和 Ag/NiO/g-C<sub>3</sub>N<sub>4</sub>的 XRD 谱图(a)和 FTIR 谱图(b)

Fig. 2 XRD patterns (a) and FTIR spectra (b) of g-C $_3$ N $_4$ , NiO, NiO/g-C $_3$ N $_4$  and Ag/NiO/g-C $_3$ N $_4$ 

从图 2b 可以看出, g-C<sub>3</sub>N<sub>4</sub>在 809 cm<sup>-1</sup>处的吸收峰 归属于 g-C<sub>3</sub>N<sub>4</sub>三嗪结构的弯曲振动<sup>[21]</sup>;1700~1200 cm<sup>-1</sup> 处的吸收峰为芳香族 C—N 键和 C—N 键的伸缩振动; 3500~3000 cm<sup>-1</sup>处为末端氨基 N—H 键和水分子 O—H 键的伸缩振动吸收峰。在 NiO 的 FTIR 谱图中,471 cm<sup>-1</sup> 处为 Ni—O 键的伸缩振动吸收峰,相应地在 Ag/NiO/g-C<sub>3</sub>N<sub>4</sub>的 FTIR 谱图中观察到属于 NiO 的特征 峰,表面负载 Ag 后,峰的强度有所减弱,且并无其他 吸收峰,说明不含其他 Ag 的关联化合物。对比 Ag/NiO/g-C<sub>3</sub>N<sub>4</sub>和 g-C<sub>3</sub>N<sub>4</sub>,两者的 FTIR 谱图基本一致, 前者吸收峰强度降低,表明负载后的 g-C<sub>3</sub>N<sub>4</sub> 化学键合 受到了抑制,但仍具有良好的化学结构。

图 3 为 g-C<sub>3</sub>N<sub>4</sub>和 Ag/NiO/g-C<sub>3</sub>N<sub>4</sub>的 SEM 图、 TEM 图和 EDS 元素分布图。 从图 3 可以看出,g-C<sub>3</sub>N<sub>4</sub>的表面相对光滑并呈层状结构 (图 3a、c); 而 Ag/NiO/g-C<sub>3</sub>N<sub>4</sub>的表面有许多立方体小颗粒,为 NiO 颗粒 (图 3b),表明 NiO 已负载到 g-C<sub>3</sub>N<sub>4</sub>表面上。NiO 和 Ag 的晶格条形纹间距分别为 0.23 和 0.20 nm,为 NiO(222)晶面和 Ag(200)晶面(图 3d)。Ag/NiO/g-C<sub>3</sub>N<sub>4</sub>含有 C、N、Ni、Ag 元素(图 3e),表明 NiO 和 Ag 已负载到 g-C<sub>3</sub>N<sub>4</sub>表面上,并且形成异质结。异质结的形成将有助于光生电子-空穴对的分离和传输,提升复合材料的光催化性能。

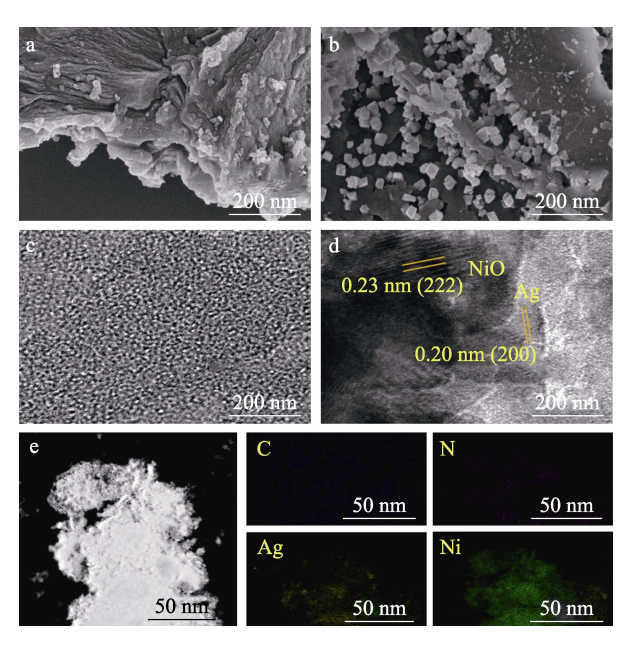


图 3 g-C<sub>3</sub>N<sub>4</sub>(a)和 Ag/NiO/g-C<sub>3</sub>N<sub>4</sub>(b)的 SEM 图; g-C<sub>3</sub>N<sub>4</sub>(c)和 Ag/NiO/g-C<sub>3</sub>N<sub>4</sub>(d)的 TEM 图; Ag/NiO/g-C<sub>3</sub>N<sub>4</sub>的元素分布图(e)

Fig. 3 SEM images of g-C<sub>3</sub>N<sub>4</sub> (a) and Ag/NiO/g-C<sub>3</sub>N<sub>4</sub> (b); TEM images of g-C<sub>3</sub>N<sub>4</sub> (c) and Ag/NiO/g-C<sub>3</sub>N<sub>4</sub> (d); Distribution diagrams of element of Ag/NiO/g-C<sub>3</sub>N<sub>4</sub> (e)

图 4 为 g-C<sub>3</sub>N<sub>4</sub>和 Ag/NiO/g-C<sub>3</sub>N<sub>4</sub>的 XPS 谱图。

从图 4a 可以看出, g-C<sub>3</sub>N<sub>4</sub>里含有 C、N、O 3 种元素; Ag/NiO/g-C<sub>3</sub>N<sub>4</sub>含有 C、N、O、Ni、Ag 5 种元素。 从图 4b 可以看出, g-C<sub>3</sub>N<sub>4</sub>的 C 1s 分峰在结合能 284.6 和 287.5 eV 处<sup>[22]</sup>, 分别代表 C=C 和 C—N=C 键; Ag/NiO/g-C<sub>3</sub>N<sub>4</sub>的 C 1s 分峰处出现在结合能 285.4 和 288.1 eV 处,分别对应 C=C 和 C—N=C

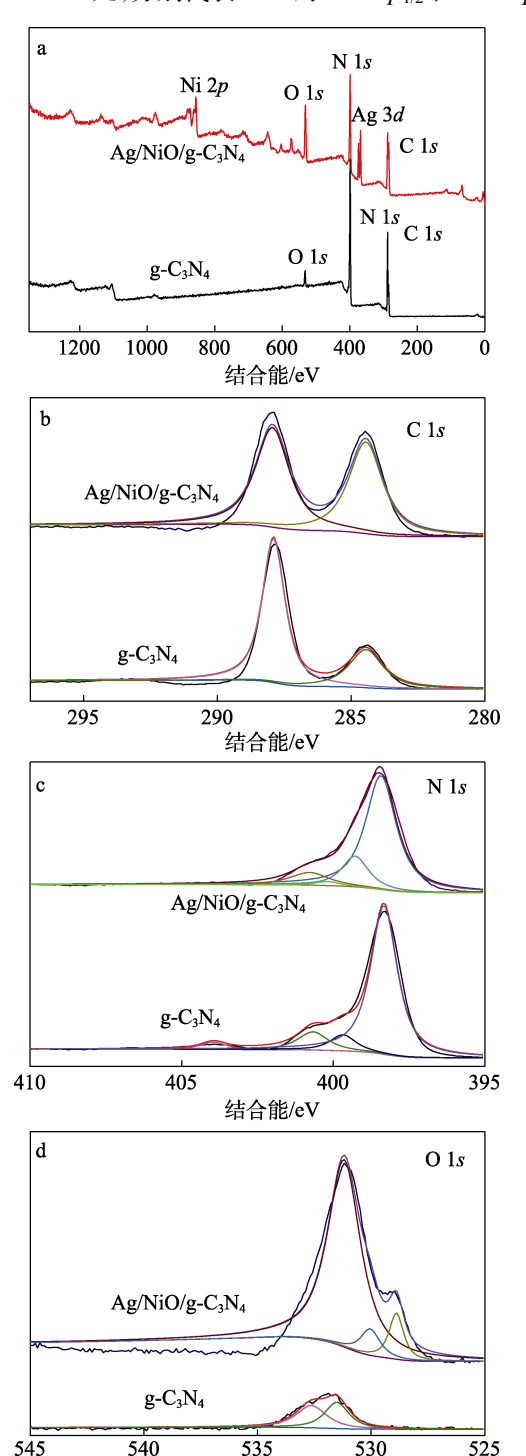
键,其C1s分峰较g-C3N4有所偏移。

从图 4c 可以看出,g-C<sub>3</sub>N<sub>4</sub>的 N 1s 分峰分别出 现在结合能 398.2、399.2 和 400.3 eV 处<sup>[23]</sup>,分别为 N—C<sub>3</sub> 和 N—H<sub>2</sub>;Ag/NiO/g-C<sub>3</sub>N<sub>4</sub>的 N 1s 分峰分别 出现在结合能 398.8、399.8 和 400.9 eV 处,分别为 N—C<sub>3</sub> 和 N—H,其 N 1s 峰有所偏移,这是因为,对于叔氮基团和氨基基团来说, $sp^3$  杂化的 N 原子的 孤对电子作为电子给体,可以在最小的空间约束下

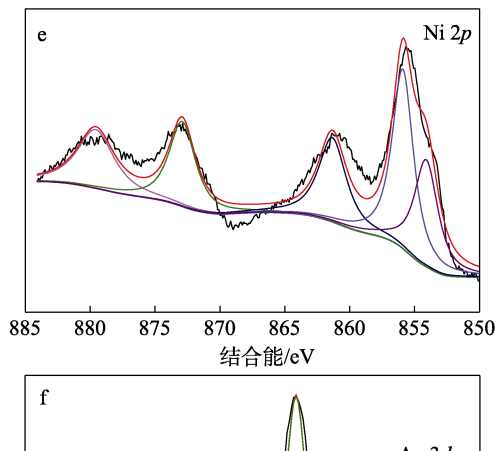
与 Ni 未占据的 d 轨道相互作用形成 Ni—N 键,这 种化学偶联导致 N 原子的电子云密度增加,而 Ni 原子的电子密度降低,形成共价的 Ni( $\delta$ <sup>+</sup>)—N( $\delta$ <sup>-</sup>)键。

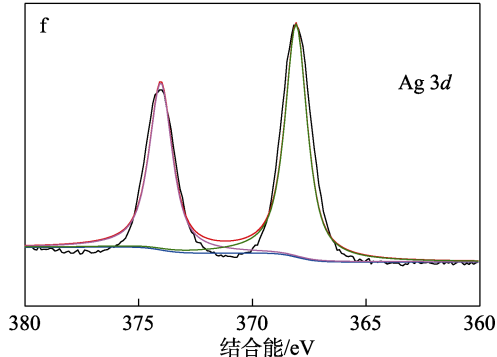
从图 4d 可以看出,g-C<sub>3</sub>N<sub>4</sub>的 O 1s 的分峰出现在结合能 531.5 和 532.6 eV 处,分别为从环境中吸附的  $H_2O$  和  $CO_2$ ; Ag/NiO/g-C<sub>3</sub>N<sub>4</sub>的 O 1s 的分峰出现在 528.8,530.0 和 531.2 eV 处,分别为 Ni—O 键,吸附的  $H_2O$  和  $CO_2$ 。

从图 4e 可以看出,其分峰分别出现在结合能 856.0 和 873.1 eV 处,分别代表 NiO 的 NiO  $2p_{1/2}$  和 NiO  $2p_{3/2}$ ,



结合能/eV





a—XPS 全谱; b—C 1s 的 XPS 高分辨谱图; c—N 1s 的 XPS 高分辨谱图; d—O 1s 的 XPS 高分辨谱图; e—Ni 2p 的 XPS 高分辨谱图; f—Ag 3d 的 XPS 高分辨谱图

图 4 g-C<sub>3</sub>N<sub>4</sub>和 Ag/NiO/g-C<sub>3</sub>N<sub>4</sub>的 XPS 谱图 Fig. 4 XPS spectra of g-C<sub>3</sub>N<sub>4</sub> and Ag/NiO/g-C<sub>3</sub>N<sub>4</sub>

表明 Ag/NiO/g-C<sub>3</sub>N<sub>4</sub>中的 Ni 以 Ni<sup>2+</sup>形式存在。 结合能 854.1 eV 处的峰代表 Ni—N 配位共价键。

从图 4f 可以看出,结合能 367.4 和 373.2 eV 处,分别代表  $Ag^0$  的  $3d_{5/2}$  和  $3d_{3/2}$ 。结果表明,NiO 和 Ag 已负载到 g- $C_3N_4$ 表面上,且已经形成 N—Ni 配位键,配位键的形成将有利于光生电子-空穴的有效分离。

图 5 为 g-C<sub>3</sub>N<sub>4</sub>、NiO、NiO/g-C<sub>3</sub>N<sub>4</sub>和 Ag/NiO/g-C<sub>3</sub>N<sub>4</sub>的 UV-Vis DRS 光谱和光致发光光谱。

从图 5 可以看出,g-C<sub>3</sub>N<sub>4</sub>的吸收边缘约 460 nm, 而 Ag/NiO/g-C<sub>3</sub>N<sub>4</sub> 吸收边缘出现红移,这是由于异质结的加入扩大了光的吸收范围(图 5a)。g-C<sub>3</sub>N<sub>4</sub>电子-空穴对结合的激发峰约 460 nm<sup>[24]</sup>;NiO 因没有荧光性而无激发峰;与g-C<sub>3</sub>N<sub>4</sub>比较,NiO/g-C<sub>3</sub>N<sub>4</sub>和 Ag/NiO/g-C<sub>3</sub>N<sub>4</sub>具有相似的荧光光谱,但峰强度依次下降。其中,g-C<sub>3</sub>N<sub>4</sub>的光致发光强度最高,而Ag/NiO/g-C<sub>3</sub>N<sub>4</sub>的光致发光强度最低(图 5b),表明对催化剂进行掺杂能够有效抑制电子-空穴的结合,提高电子-空穴的利用率,这将优化催化剂在光催化反应过程中的催化效率。

图 6 为 g-C<sub>3</sub>N<sub>4</sub>和 Ag/NiO/g-C<sub>3</sub>N<sub>4</sub>的 EIS 谱图和时间分辨荧光光谱。

从图 6 可以看出,  $g-C_3N_4$ 的 EIS 谱图直线斜率 明显高于  $Ag/NiO/g-C_3N_4$  (图 6a), 斜率越大代表阻

抗越大,光生电子的传输越慢,表明  $Ag/NiO/g-C_3N_4$  的光生电子传输速率较快。

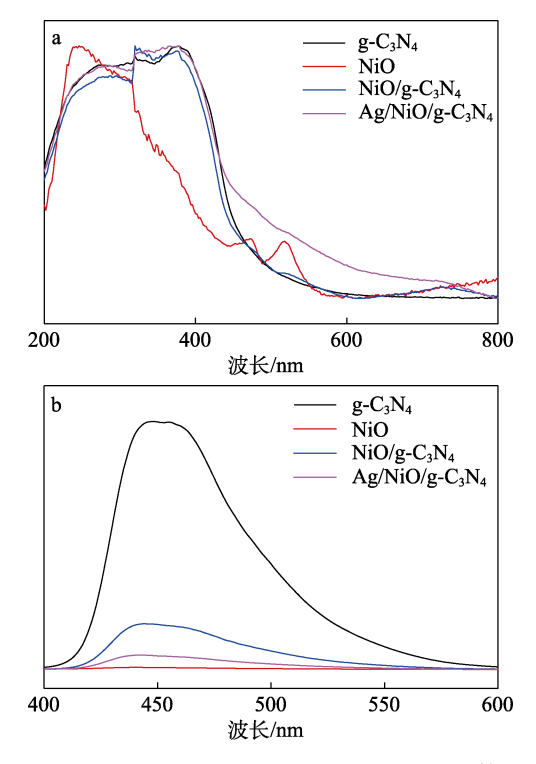


图 5 g-C<sub>3</sub>N<sub>4</sub>、NiO、NiO/g-C<sub>3</sub>N<sub>4</sub>和 Ag/NiO/g-C<sub>3</sub>N<sub>4</sub>的 UV-Vis DRS 光谱(a)和光致发光光谱(b)

Fig. 5 UV-Vis diffuse reflectance spectra (a) and photol-uminescence spectra (b) of  $g-C_3N_4$ , NiO, NiO/ $g-C_3N_4$  and Ag/NiO/ $g-C_3N_4$ 

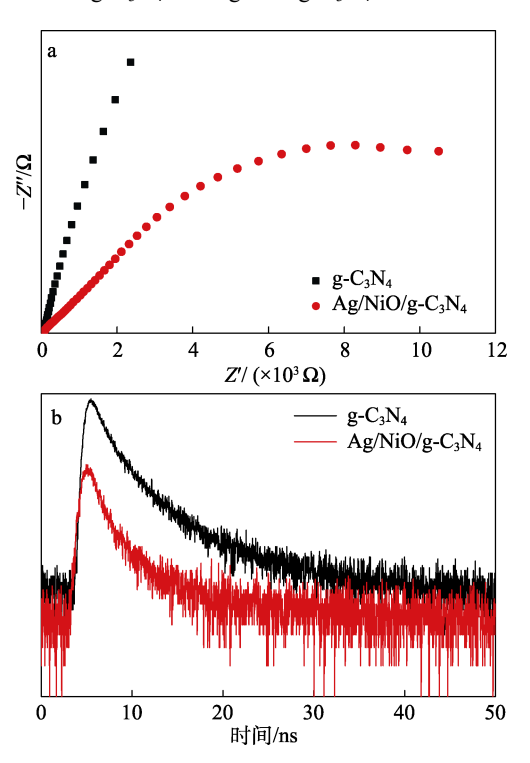


图 6 g-C<sub>3</sub>N<sub>4</sub>和 Ag/NiO/g-C<sub>3</sub>N<sub>4</sub>的 EIS 谱图 (a) 和时间 分辨荧光光谱 (b)

Fig. 6 EIS spectra (a) and time-resolved fluorescence spectra (b) of g-C<sub>3</sub>N<sub>4</sub> and Ag/NiO/g-C<sub>3</sub>N<sub>4</sub>

时间分辨荧光光谱反映了激发态粒子数随时间的变化,可以获得激发态粒子在激发态的停留时间。Ag/NiO/g-C<sub>3</sub>N<sub>4</sub>的瞬态衰减较快,而 g-C<sub>3</sub>N<sub>4</sub>的瞬态衰减较慢(图 6b),经计算,g-C<sub>3</sub>N<sub>4</sub>和 Ag/NiO/g-C<sub>3</sub>N<sub>4</sub>的瞬态荧光平均寿命分别为 6.61 和 5.08 ns,表明Ag/NiO/g-C<sub>3</sub>N<sub>4</sub>的光诱导电子失活概率低,其光催化活性将会更高。

#### 2.2 光催化性能分析

#### 2.2.1 催化剂的筛选

图 7 为不同催化剂对 OTC 降解率的影响及对应的一级动力学拟合曲线。

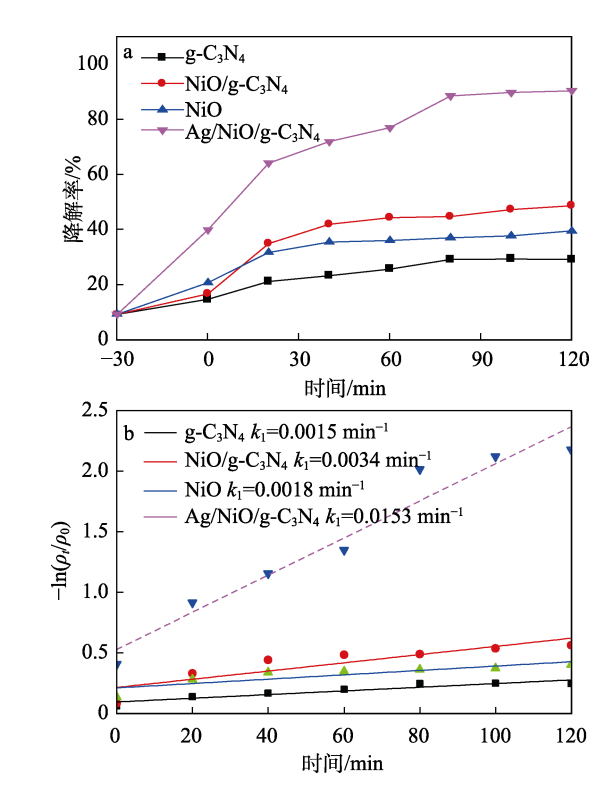


图 7 不同催化剂对 OTC 降解率的影响(a)及对应的一级动力学拟合曲线(b)

Fig. 7 Effects of different catalysts on degradation rate of OTC (a) and corresponding first-order kinetic fitting curves (b)

从图 7 可以看出,g-C<sub>3</sub>N<sub>4</sub>对 OTC 的降解率较低,反应时间 120 min,OTC 的降解率仅为 21.7%;NiO 和 NiO/g-C<sub>3</sub>N<sub>4</sub>对 OTC 有一定的降解效果,反应时间 120 min,OTC 的降解率分别为 33.1%和 43.1%;同样条件下,Ag/NiO/g-C<sub>3</sub>N<sub>4</sub>对 OTC 的光催化降解率达到了 88.7%(图 7a)。这可能是因为,Ag 的引入能在 Ag/NiO/g-C<sub>3</sub>N<sub>4</sub> 表面引起局部等离子共振,增加了对可见光的吸收区域,促进光生电子的分离和转移,阻止 g-C<sub>3</sub>N<sub>4</sub> 电子-空穴对的复合,从而优化了对 OTC 的光催化降解性能 [16]。 g-C<sub>3</sub>N<sub>4</sub>、NiO、NiO/g-C<sub>3</sub>N<sub>4</sub> 和 Ag/NiO/g-C<sub>3</sub>N<sub>4</sub> 的反应速率常数分别

为 0.0015、0.0018、0.0034 和 0.0153  $min^{-1}$  (图 7b)。 后续将以 Ag/NiO/g-C<sub>3</sub>N<sub>4</sub> 为光催化降解 OTC 催化剂 进行考察。

#### 2.2.2 料液比对光催化降解 OTC 性能的影响

图 8 为不同料液比对 OTC 降解率的影响及对应的一级动力学拟合曲线。

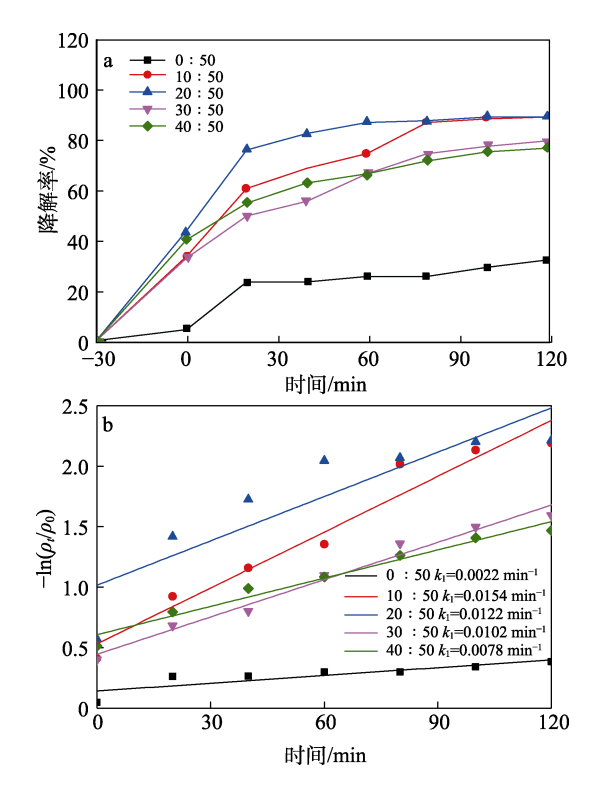


图 8 不同料液比对 OTC 降解率的影响(a)及对应的一级动力学拟合曲线(b)

Fig. 8 Effects of different material liquid ratios on degradation rate of OTC (a) and corresponding first-order kinetic fitting curves (b)

从图 8 可以看出,随着料液比的增加,OTC 的降解率呈先增加后减小的趋势(图 8a)。在料液比为 20:50、反应时间 120 min 时,OTC 的降解率最高,为 89.3%。这是因为,加入的催化剂与 OTC 接触,促进了光反应进行,进而提高了光催化效率。NiO 可接收 g-C<sub>3</sub>N<sub>4</sub> 中光生电子,提高电子的转移效率,增加 Ag/NiO/g-C<sub>3</sub>N<sub>4</sub> 对光的吸收范围,增强材料对 OTC 的催化降解性能。但当 Ag/NiO/g-C<sub>3</sub>N<sub>4</sub>用量继续增加时,光催化降解率反而减小,这是因为,过多的催化剂在一定程度上造成了团聚,影响了可见光的照射,使部分催化剂不能接收能量,无法有效地将包裹在上面的 OTC 分解,导致 OTC 降解率降低<sup>[17]</sup>。

2.2.3 溶液初始 pH 对光催化降解 OTC 性能的影响 图 9 为溶液初始 pH 对 OTC 降解率的影响及对 应的一级动力学拟合曲线。

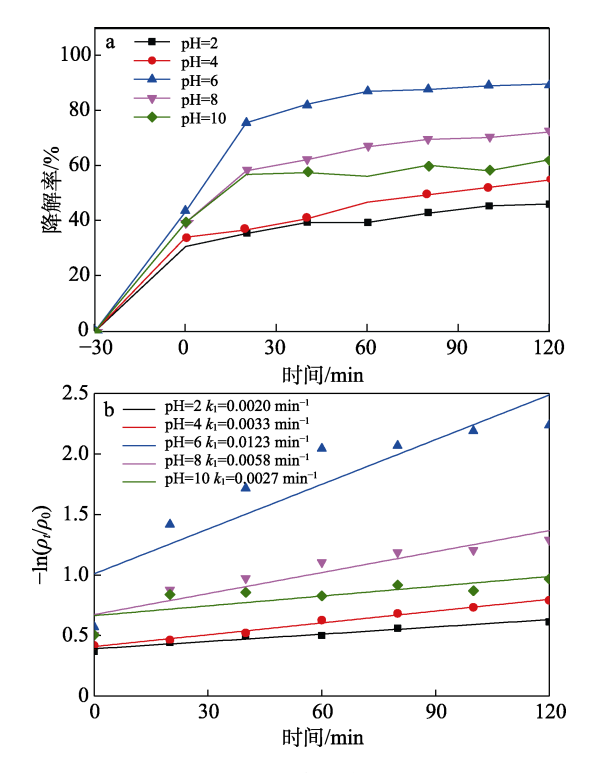


图 9 溶液初始 pH 对 OTC 降解率的影响(a)和一级动力学拟合曲线(b)

Fig. 9 Effects of initial pH of solution on degradation rate of OTC (a) and corresponding first-order kinetic fitting curves (b)

从图 9 可以看出,随着溶液初始 pH 的增加, OTC 的降解率呈先增加后减小的趋势。当溶液初始 pH=6时,OTC光催化降解120 min 后的降解率最高, 为 89.3%。 当溶液初始 pH=2 和 4 时, OTC 降解 120 min 后的降解率分别为 46.1%和 54.7%, 显著低 于溶液初始 pH=6 时的降解率。这是因为, Ni<sup>2+</sup>能与 H<sub>2</sub>O<sub>2</sub>发生反应,产生大量的•OH,而且光照也能加 速 H<sub>2</sub>O<sub>2</sub> 分解, 持续还原 Ni<sup>3+</sup>, 从而形成一个循环 反应,提高反应中 OTC 的降解率。但 pH 过低的溶 液含有大量的 H+, H+会与活性中心•OH 发生反应, 从而抑制•OH 参与对 OTC 的降解,不利于芬顿催 化降解反应,降低了 OTC 降解率[18]。但当反应溶 液初始 pH 由 6 增至 8 和 10 时, OTC 的光催化降解 120 min 后的降解率降至 72.2%和 62.0%。这是因为, pH 为 8 和 10 时,反应发生的环境处于碱性条件,  $H_2O_2$ 与  $OH^-$ 发生反应分解,释放  $O_2$ ,降低了活性 中心•OH 的形成效率<sup>[3]</sup>; 此外, OH<sup>-</sup>还会抑制  $H_2O_2$ 的光分解生成•OH 的反应,而且 Ag/NiO/g-C<sub>3</sub>N<sub>4</sub>表 面存在的空穴有限,只有部分OH<sup>-</sup>能被氧化为•OH, 降低 OTC 降解率。

#### 2.2.4 循环稳定性

图 10 为 Ag/NiO/g-C<sub>3</sub>N<sub>4</sub>循环稳定性能测试结果。 从图 10 可以看出,在 3 次循环实验中,OTC 光催化降解 120 min 后的降解率分别为 88.9%、 80.5%和 78.2%, 呈小幅降低的趋势。

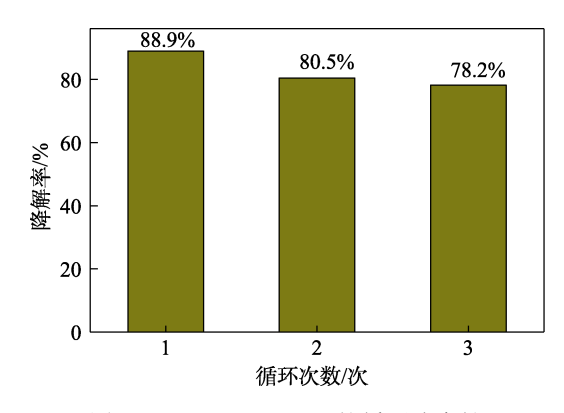


图 10 Ag/NiO/g-C<sub>3</sub>N<sub>4</sub>的循环稳定性 Fig. 10 Cyclic stability of Ag/NiO/g-C<sub>3</sub>N<sub>4</sub>

 $Ag/NiO/g-C_3N_4$  催化活性降低的原因可能有两个: 一是回收过程中的质量损失; 二是吸附的 OTC 未完全从  $Ag/NiO/g-C_3N_4$  中脱附。

#### 2.3 活性中心捕获实验结果分析

图 11 为不同捕获剂对 OTC 光催化降解反应的影响。



图 11 不同捕获剂对 OTC 降解率的影响 Fig. 11 Effects of different trapping agents on degradation rate of OTC

从图 11 可以看出,在 OTC 光催化降解反应过程中,分别加入 IPA、p-BQ、TEA 时,Ag/NiO/g-C<sub>3</sub>N<sub>4</sub> 的光催化活性均被抑制,表现为 OTC 降解率明显下降,从无捕获剂的 88.9%降至 33.5%、44.3%和 63.9%,表明•OH、•O<sub>2</sub>和 h<sup>+</sup>均参与了光催化反应,其中,•OH 是降解 OTC 的主导自由基。而 AgNO<sub>3</sub>的加入对 OTC 的降解率影响不大,表明 e<sup>-</sup>不是 OTC 光催化降解反应的活性物种。

### 2.4 光催化机理推测

图 12 为 g-C<sub>3</sub>N<sub>4</sub> 和 NiO 的禁带宽度( $E_g$ )和 Mott-Schottky 图。

从图 12 可以看出,  $g-C_3N_4$ 和 NiO 的  $E_g$ 分别为 2.75 和 3.00 eV;  $g-C_3N_4$ 和 NiO 都属于 n 型半导体, 其导带 ( $E_{CB}$ ) 分别为-0.79 和-0.67 eV。根据公式

 $E_{VB}$ = $E_g$  +  $E_{CB}$ ,得到 g- $C_3N_4$ 和 NiO 的价带( $E_{VB}$ )分别为 1.96 和 2.33 eV。据此,推测 Ag/NiO/g- $C_3N_4$ 光催化降解 OTC 的机理如图 13 所示。

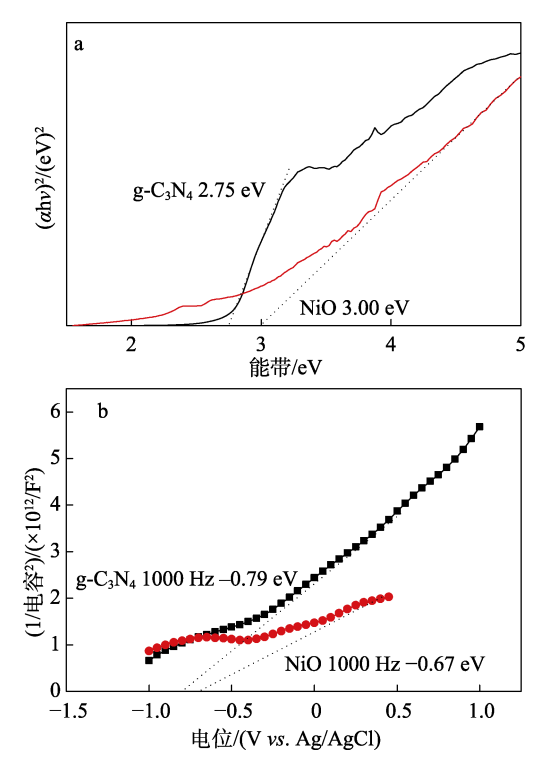


图 12 g-C<sub>3</sub>N<sub>4</sub>和 NiO 的禁带宽度(a)、Mott-Schottky 图(b) Fig. 12 Band gap (a) and Mott-Schottky plots (b) of g-C<sub>3</sub>N<sub>4</sub> and NiO

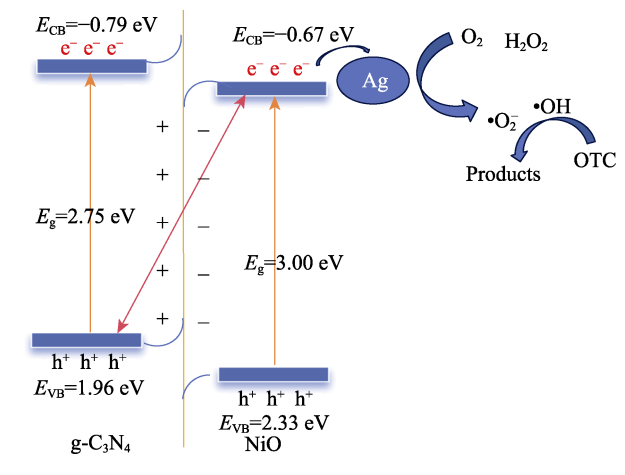


图 13 Ag/NiO/g-C<sub>3</sub>N<sub>4</sub>光催化降解 OTC 机理示意图 Fig. 13 Schematic diagram of photocatalysis mechanism of Ag/NiO/g-C<sub>3</sub>N<sub>4</sub> for OTC degradation

可见光照射到催化剂表面,导致光生电子和空穴分离,光生电子从  $g-C_3N_4$  的导带迁移到 NiO 的导带,再转移到 Ag 上,抑制了光生电子和空穴的再结合,促使更多的电子参与到反应中,使  $O_2$  和  $H_2O_2$  分别还原成 $\bullet O_2$  和 $\bullet OH$ 。同时,NiO 导带上的电子和  $g-C_3N_4$  价带上的空穴再结合,NiO 上更多的空穴将  $H_2O$  氧化成 $\bullet OH$ ,产生的 $\bullet O_7$  和 $\bullet OH$  参与并以极高的

效率光催化降解 OTC[25-26]。

# 3 结论

通过浸渍法和光还原法,在  $g-C_3N_4$  纳米颗粒上负载 Ag 纳米粒子和 NiO,成功制备了  $Ag/NiO/g-C_3N_4$  复合催化材料,并将其用于 OTC 的光催化降解。

- (1) NiO 具有较大的比表面积,可作为 g-C<sub>3</sub>N<sub>4</sub> 中光生电子的接收方,提高电子的转移效率。适量 Ag 的引入可以促进光生电子-空穴的分离,提升光催化活性。
- (2) Ag/NiO/g-C<sub>3</sub>N<sub>4</sub>光催化降解 OTC 反应的最 佳条件为溶液初始 pH=6、料液比(mg: mL) 20: 50,在此条件下,120 min 时 OTC 的降解率为 89.3%。
- (3)  $Ag/NiO/g-C_3N_4$  光催化降解 OTC 反应中, •OH 是降解 OTC 的主导活性物种, $\bullet$ O<sub>2</sub>和空穴也均 参与了光催化反应。

#### 参考文献:

- [1] FAZAELI R, ALIYAN H, RICHESON D, et al. A comparison increasing the photodegradation power of a Ag/g-C<sub>3</sub>N<sub>4</sub>/CoNi-LDH nanocomposite: Photocatalytic activity toward water treatment[J]. Journal of Environmental Sciences, 2025, 148: 437-450.
- [2] AO X W, ELORANTA J, HUANG C H, et al. Peracetic acid-based advanced oxidation processes for decontamination and disinfection of water: A review[J]. Water Research, 2011, 188: 116479.
- [3] GLAZE W H, KANG J W, CHAPIN D H. The Chemistry of water treatment processes involving ozone, hydrogen peroxide and ultraviolet radiation[J]. Ozone: Sci Engineering, 1987, 9: 335-352.
- [4] WANG H M, XU Y G, JING L Q, et al. Novel magnetic BaFe<sub>12</sub>O<sub>19</sub>/g-C<sub>3</sub>N<sub>4</sub> composites with enhanced thermocatalytic and photo-Fenton activity under visible-light[J]. Journal of Alloys and Compounds, 2017, 710: 510-518.
- [5] YANG Q R, TAN G Q, YIN L X, et al. Full-spectrum broad-spectrum degradation of antibiotics by BiVO<sub>4</sub>@BiOCl crystal plane S-type and Z-type heterojunctions[J]. Chemical Engineering Journal. 2023, 467: 143450.
- [6] GUTMAN I, FURTULA B, HYPER W I. Two highly correlated structure-descriptors[J]. Monatshefte für Chemie-Chemical Monthly, 2023. 134: 975-981.
- [7] YANG L (杨莲), WEN Q X (温沁雪), CHEN Z Q (陈志强), et al. Research progress of removal methods for oxytetracycline residues in environment[J]. Environmental Engineering (环境工程), 2013, 31(S1): 179-183.
- [8] LIU Y Q (刘义青), FU Y S (付永胜), WANG S X (汪诗翔). Study on photodegradation of oxytetracycline in water under simulated solar light irradiation[J]. Technology of Water Treatment (水处理技术), 2018, 44(10): 49-52.
- [9] ZENG Y T (曾余婷). Preparation of bamboo-carbon supported iron catalyst and study on removal of oxytetracycline hydrochloride in water[D]. Changsha: Changsha University of Science & Technology (长沙理工大学), 2018.
- [10] ZHENG X L (郑祥雷). Study on visible light catalytic oxidation and photo-Fenton oxidation for the degradation of organic compounds in water[D]. Qingdao: Qingdao University of Science & Technology (青岛科技大学), 2022.

- [11] JIN Y Z (金月正). Preparation of ZnO/biochar composite photocatalytic materials and study on degradation of antibiotic wastewater[D]. Xiamen: Xiamen University of Technology (厦门理工学院), 2022.
- [12] YU Z Y (于子扬), YU H W (于贺伟), ZHAO G J (赵改菊), *et al.* Research progress on resource utilization of Fenton sludge[J]. Inorganic Chemicals Industry (无机盐工业), 2022(6): 31-37.
- [13] WANG S Y (王淑瑶). Study on the photocatalysis-Fenton-like coupling for advanced treatment of organic pollutants[D]. Tangshan: North China University of Science & Technology (华北理工大学), 2022.
- [14] FAN X Q, ZHANG L X, CHENG R L, *et al.* Construction of graphitic C<sub>3</sub>N<sub>4</sub>-based intramolecular donor-acceptor conjugated copolymers for photocatalytic hydrogen evolution[J]. ACS Catalysis, 2015, 5(9): 5008-5015.
- [15] CHANG D (常达), SUN J J (孙娟娟), ZENG M (曾明), et al. Photo-Fenton activity of ferrihydrite/MoS<sub>2</sub> catalyst under visible light[J]. Journal of Tianjin University of Science & Technology (天津科技大学学报), 2022, 37(3): 37-42.
- [16] WANG W L (王文亮), ZHANG H C (张灏纯), CHEN Y G (陈义 钢), et al. Efficient degradation of tetracycline via coupling of photocatalysis and photo-Fenton processes over a 2D/2D α-Fe<sub>2</sub>O<sub>3</sub>/g-C<sub>3</sub>N<sub>4</sub> S-scheme heterojunction catalyst[J]. Acta Physico-Chimica Sinica (物理化学学报), 2022, 38 (7): 2201008.
- [17] ZHOU H (周慧), JIN D Q (金党琴), DU B (杜彬), et al. Preparation of g-C<sub>3</sub>N<sub>4</sub>/Fe<sub>3</sub>O<sub>4</sub>/BiOI magnetic materials and its visible-light photo-Fenton catalytic properties[J]. Chemical Research and Application (化学研究与应用), 2023, 35(1): 113-122.
- [18] HE W J, JIA H P, LI Z P, *et al.* Magnetic recyclable g-C<sub>3</sub>N<sub>4</sub>/Fe<sub>3</sub>O<sub>4</sub>@MIL-100(Fe) ternary catalyst for photo-Fenton degradation of ciprofloxacin[J]. Journal of Environmental Chemical Engineering, 2022, 10(6): 108698.
- [19] WANG K (王坤), XU G (徐舸), XU Y H (许延恒). Preparation of Fe/g-C<sub>3</sub>N<sub>4</sub> by thermal polymerization and its properties[J]. Shandong Chemical Industry (山东化工), 2021, 50(13): 6-7.
- [20] BAO E P (鲍二蓬). Preparation of g-C<sub>3</sub>N<sub>4</sub>-based composite photocatalyst and its photodegradation performance[D]. Tianjin: Tianjin University (天津大学), 2020.
- [21] TAN S Y (谭诗杨), DU C Y (杜春艳), YU G L (余关龙), *et al.* Construction of g-C<sub>3</sub>N<sub>4</sub>/MnO<sub>2</sub> composite photocatalyst for degradation of tetracycline under visible light[J]. Functional Material (功能材料), 2020, 51(6): 6164-6168, 6214.
- [22] JIANG L B, YUAN X Z, ZENG G M, et al. Nitrogen self-doped g-C<sub>3</sub>N<sub>4</sub> nanosheets with tunable band structures for enhanced photocatalytic tetracycline degradation[J]. Journal of Colloid and Interface Science, 2019, 536: 17-29.
- [23] LI Z S, CHEN Q Y, LIN Q C, et al. Three-dimensional P-doped porous g-C<sub>3</sub>N<sub>4</sub> nanosheets as an efficient metal-free photocatalyst for visible-light photocatalytic degradation of Rhodamine B model pollutant[J]. Journal of the Taiwan Institute of Chemical Engineers, 2020, 114: 249-262.
- [24] ZOU Z (邹泽). Preparation of Ag-graphene-TiO<sub>2</sub> material and its photocatalytic degradation of oxytetracycline[D]. Guiyang: Guizhou University (贵州大学), 2021.
- [25] CHEN W C (陈闻超). Preparation and characterization of ultrafine Ag, Ni and NiO powders[D]. Hefei: Hefei University of Technology (合肥工业大学), 2014.
- [26] WANG R (王瑞). Degradation of typical N-heterogeneous organic in coal chemical wastewater by UV/TiO<sub>2</sub> combine with H<sub>2</sub>O<sub>2</sub> and PS[D]. Baotou: Inner Mongolia University of Science & Technology (内蒙古科技大学), 2021.